



TRABAJO PRACTICO N°2  
Análisis Dinámico de un Robot e implementación en FPGA

<b>ROBOTICA – R6055 - 2010</b>	
<b>Profesor: M.aS. Ing. Hernan Giannetta</b>	<b>JTP. : Ing. Damian Granzella</b>
<b>T.P. N°: 2      Análisis Dinámico de un Robot e implementación en FPGA</b>	
<b>GRUPO N°:</b>	<b>Integrantes:      Alonso, Gustavo. Montalti, Pablo.</b>
<b>Responsable :</b> <b>(e-mail del responsable)</b>	<b>Alonso Gustavo; guagea@hotmail.com</b> <b>Montalti Pablo; pmontalti@hotmail.com</b>
<b>Fecha de Entrega:</b>	<b>09/07/10      Fecha de Aprobación:</b>
 <b>UNIVERSIDAD TECNOLÓGICA NACIONAL</b>	



#### **1) Introducción a la dinámica del robot**

El modelo dinámico de un robot tiene por objetivo conocer la relación entre el movimiento del robot y las fuerzas implicadas en el mismo.

- Esta relación se obtiene mediante el denominado modelo dinámico, que relaciona matemáticamente:
- La localización del robot definida por sus variables articulares o por las coordenadas de localización de su extremo, y sus derivadas: velocidad y aceleración.
- Las fuerzas y pares aplicados en las articulaciones (o en el extremo del robot).
- Los parámetros dimensionales del robot, como longitud, masas e inercias de sus elementos.

La obtención de este modelo para mecanismos de uno o dos grados de libertad no es excesivamente compleja, pero a medida que el número de grados de libertad aumenta, el planteamiento y obtención del modelo dinámico se complica enormemente.

Por este motivo no siempre es posible obtener un modelo dinámico expresado de una forma cerrada, esto es, mediante una serie de ecuaciones, normalmente de tipo diferencial de 2º orden, cuya integración permita conocer que movimiento surge al aplicar unas fuerzas o que fuerzas hay que aplicar para obtener un movimiento determinado.

El modelo dinámico debe ser resuelto entonces de manera iterativa mediante la utilización de un procedimiento numérico.

El problema de la obtención del modelo dinámico de un robot es, por lo tanto, uno de los aspectos más complejos de la robótica, lo que ha llevado a ser obviado en numerosas ocasiones. Sin embargo, es imprescindible para conseguir los siguientes fines:

1. Simulación del movimiento del robot.
2. Diseño y evaluación de la estructura mecánica del robot.
3. Dimensionamiento de los actuadores.
4. Diseño y evaluación del control dinámico del robot.

#### **2) Modelado dinámico del robot**

##### **2.1) Modelado por equilibrio de fuerzas**

La obtención del modelo dinámico de un mecanismo, y en particular de un robot, se basa fundamentalmente en el planteamiento del equilibrio de fuerzas establecido en la segunda ley de Newton, o su equivalente para movimientos de rotación, la denominada ley de Euler:



$$\sum F = m \dot{v}$$

$$\sum T = I \dot{\omega} + \omega \times (I \omega)$$

Se tiene así que el planteamiento del equilibrio de fuerzas y pares que intervienen sobre el robot se obtienen los denominados modelos dinámicos directos e inversos.

- **Modelos dinámico directo:** expresa la evolución temporal de las coordenadas articulares del robot en función de las fuerzas y pares que intervienen.
- **Modelo dinámico inverso:** expresa las fuerzas y pares que intervienen en función de la evolución de las coordenadas articulares y sus derivadas.

Se debe tener en cuenta que intervienen las fuerzas de :

1. Inercia.
2. Gravedad.
3. Coriolis. (debida al movimiento relativo existente entre los diversos elementos)
4. Centrípetas (que depende de la configuración instantánea del manipulador)

## 2.2) Modelado por consideraciones energéticas

Como planteamiento alternativo para la obtención del modelo se puede usar la formación lagrangiana, basada en consideraciones energéticas.

Este planteamiento es más sistemático que el anterior, y por lo tanto facilita enormemente la formación de un modelo tan complejo como el de un robot.

$$\frac{d}{dt} \frac{\partial \mathcal{L}}{\partial \dot{q}_i} - \frac{\partial \mathcal{L}}{\partial q_i} = \tau$$

$$\mathcal{L} = k - u$$

$q_i$  = Coordenadas generalizadas (en este caso las articulaciones).

$\tau$  = Vector de fuerzas y pares aplicados en las  $q_i$ .

$\mathcal{L}$  = Función Lagrangiana.

$k$  = Energía cinética.

$u$  = Energía potencial.

## 3) Métodos para el modelado dinámico del robot

### 3.1) Metodo Lagrange - Euler.



## TRABAJO PRACTICO N°2

### Análisis Dinámico de un Robot e implementación en FPGA

Uicker en 1965 [UICKER-65] [UICKER-64] utilizó la representación de D-H basada en las matrices de transformación homogénea para formular el modelo dinámico de un robot mediante la ecuación de Lagrange.

- Se trata de un procedimiento ineficiente desde el punto de vista computacional.
- Puede comprobarse que el algoritmo es de un orden de complejidad computacional  $O(n^4)$  es decir, el número de operaciones a realizar crece con la potencia 4 del número de grados de libertad.
- Sin embargo, conduce a unas ecuaciones finales bien estructuradas donde aparecen de manera clara los diversos pares y fuerzas que intervienen en el movimiento (inercia, Coriolis, gravedad).

Se presenta a continuación al algoritmo a seguir para obtener el modelo dinámico del robot por el procedimiento de Lagrange-Euler (L-E).

**L-E 1 :** Asignar a cada eslabón un sistema de referencia de acuerdo a las normas de D-H.

**L-E 2 :** Obtener las matrices de transformación  ${}^0\mathbf{A}_i$  para cada elemento  $i$ .

**L-E 3 :** Obtener las matrices  $\mathbf{U}_{ij}$  definidas por:

$$\mathbf{U}_{ij} = \frac{\partial {}^0\mathbf{A}_i}{\partial q_j}$$

**L-E 4 :** Obtener las matrices  $\mathbf{U}_{ijk}$  definidas por:

$$\mathbf{U}_{ijk} = \frac{\partial \mathbf{U}_{ij}}{\partial q_k}$$

**L-E 5 :** Obtener las matrices de pseudoinercias  $\mathbf{J}_i$  para cada elemento, que vienen definidas por:

$$\mathbf{J}_i = \begin{bmatrix} \int x_i^2 dm & \int x_i y_i dm & \int x_i z_i dm & \int x_i dm \\ \int y_i x_i dm & \int y_i^2 dm & \int y_i z_i dm & \int y_i dm \\ \int z_i x_i dm & \int z_i y_i dm & \int z_i^2 dm & \int z_i dm \\ \int x_i dm & \int y_i dm & \int z_i dm & \int dm \end{bmatrix}$$

**L-E 6 :** Obtener la matriz de inercias  $\mathbf{D} = [d_{ij}]$  cuyos elementos vienen definidos por:

$$d_{ij} = \sum_{k=\max(i,j)}^n \text{Traza}(\mathbf{U}_{kj} \mathbf{J}_k \mathbf{U}_{ki}^T)$$



## TRABAJO PRACTICO N°2

### Análisis Dinámico de un Robot e implementación en FPGA

con  $i, j = 1, 2, \dots, n$

$n$  : numero de grados de libertad

**L-E 7** :Obtener los terminos  $h_{ikm}$  definidos por:

$$h_{ikm} = \sum_{j=\max(i,k,m)}^n \text{Traza}(\mathbf{U}_{jkm} \mathbf{J}_j \mathbf{U}_{ji}^T)$$

con  $i, k, m = 1, 2, \dots, n$

**L-E 8** :Obtener la matriz columna de fuerzas de Coriolis y centripeta  $\mathbf{H} = [h_i]^T$  cuyos elementos vienen definidos por:

$$h_i = \sum_{k=1}^n \sum_{m=1}^n h_{ikm} \dot{q}_k \dot{q}_m$$

**L-E 9** :Obtener la matriz columna de fuerzas de gravedad  $\mathbf{C} = [c_i]^T$  cuyos elementos estan definidos por:

$$c_i = \sum_{j=1}^n (-m_j \mathbf{g} \mathbf{U}_{ji}^T \mathbf{r}_j)$$

con  $i = 1, 2, \dots, n$

**L-E 10** : La ecuacion dinamica del sistema sera:

$$\boldsymbol{\tau} = \mathbf{D} \ddot{\mathbf{q}} + \mathbf{H} + \mathbf{C}$$

donde  $\boldsymbol{\tau}$  es el vector de fuerzas y pares motores efectivos aplicados sobre cada coordenada  $q_i$ .

### 3.2) Metodo Newton - Euler.

La formulacion de Newton-Euler utiliza las ecuaciones de equilibrio de fuerzas y torques (pares).

Un adecuado desarrollo de estas ecuaciones conduce a una formulacion recursiva en la que se obtienen la :

1. posicion,
2. velocidad y ,
3. aceleracion

del eslabon  $i$  referidos a la base del robot a partir de los correspondientes valores de (posicion, Vel y Asc) del eslabon  $i-1$  y del movimiento relativo de la articulacion  $i$ .

El algoritmo se basa en operaciones vectoriales (con productos escalares y vectoriales entre magnitudes vectoriales, y productos de matrices con vectores) siendo mas eficiente en comparacion con las operaciones matriciales asociadas a la formulacion Lagrangiana.

De hecho, el orden de complejidad computacional de la formulacion recursiva de Newton-Euler es  $O(n)$  lo que indica que depende directamente del numero de grados de libertad.

Se presenta a continuacion al algoritmo a seguir para obtener el modelo dinamico del robot por el procedimiento de Newton-Euler (N-E).



**N-E 1.** Asignar a cada eslabon un sistema de referencia de acuerdo con las normas de D-H.

**N-E 2.** Obtener las matrices de rotacion  ${}^{i-1}\mathbf{R}_i$  y sus inversas  ${}^i\mathbf{R}_{i-1} = ({}^{i-1}\mathbf{R}_i)^{-1} = ({}^{i-1}\mathbf{R}_i)^T$

$${}^{i-1}\mathbf{R}_i = \begin{bmatrix} C\theta_i & -C\alpha_i S\theta_i & S\alpha_i S\theta_i \\ S\theta_i & C\alpha_i C\theta_i & -S\alpha_i C\theta_i \\ 0 & S\alpha_i & C\alpha_i \end{bmatrix}$$

**N-E 3.** Establecer las condiciones iniciales para el sistema de base S0..

$${}^0\boldsymbol{\omega}_0: \text{velocidad angular} = [0,0,0]^T$$

$${}^0\dot{\boldsymbol{\omega}}_0: \text{aceleracion angular} = [0,0,0]^T$$

$${}^0\mathbf{v}_0: \text{velocidad lineal} = [0,0,0]^T$$

$${}^0\dot{\mathbf{v}}_0: \text{aceleracion lineal} = [g_x, g_y, g_z]^T$$

Para el extremo del robot se conocera la fuerza y el par ejercidos externamente  ${}^{n+1}\mathbf{f}_{n+1}$  y  ${}^{n+1}\mathbf{n}_{n+1}$

$${}^1\mathbf{z}_0 = [0,0,1]^T$$

${}^i\mathbf{p}_i$  = Coordenadas del origen del sistema  $\{S_i\}$  respecto a  $\{S_{i-1}\} = [a_i, d_i, S_i, C_i]$

${}^i\mathbf{s}_i$  = Coordenadas del centro de masas del eslabon  $i$  respecto del sistema  $\{S_i\}$

${}^i\mathbf{I}_i$  = Matriz de inercia del eslabon  $i$  respecto del su centro de masas expresado en  $\{S_i\}$

**N-E 4.** Obtener la velocidad angular del sistema  $\{S_i\}$

$${}^i\boldsymbol{\omega}_i = \begin{cases} {}^i\mathbf{R}_{i-1} ({}^{i-1}\boldsymbol{\omega}_{i-1} + \mathbf{z}_0 \dot{q}_i) & \text{si el eslabón } i \text{ es de rotación} \\ {}^i\mathbf{R}_{i-1} {}^{i-1}\boldsymbol{\omega}_{i-1} & \text{si el eslabón } i \text{ es de traslación} \end{cases}$$

**N-E 5.** Obtener la aceleracion angular del sistema  $\{S_i\}$ .

$${}^i\dot{\boldsymbol{\omega}}_i = \begin{cases} {}^i\mathbf{R}_{i-1} ({}^{i-1}\dot{\boldsymbol{\omega}}_{i-1} + \mathbf{z}_0 \ddot{q}_i) + {}^{i-1}\boldsymbol{\omega}_{i-1} \times \mathbf{z}_0 \dot{q}_i & \text{si el eslabón } i \text{ es de rotación} \\ {}^i\mathbf{R}_{i-1} {}^{i-1}\dot{\boldsymbol{\omega}}_{i-1} & \text{si el eslabón } i \text{ es de traslación} \end{cases}$$

**N-E 6.** Obtener la aceleracion lineal del sistema  $i$ .



## TRABAJO PRACTICO N°2

### Análisis Dinámico de un Robot e implementación en FPGA

$${}^i\dot{\mathbf{v}}_i = \begin{cases} {}^i\dot{\omega}_i \times {}^i\mathbf{p}_i + {}^i\omega_i \times ({}^i\omega_i \times {}^i\mathbf{p}_i) + {}^i\mathbf{R}_{i-1} {}^{i-1}\dot{\mathbf{v}}_{i-1} & \text{si el eslabón } i \text{ es de rotación} \\ {}^i\mathbf{R}_{i-1} (\mathbf{z}_0 \ddot{q}_i + {}^{i-1}\dot{\mathbf{v}}_{i-1}) + {}^i\dot{\omega}_i \times {}^i\mathbf{p}_i + 2{}^i\omega_i \times {}^i\mathbf{R}_{i-1} \mathbf{z}_0 \dot{q}_i + \\ \quad + {}^i\omega_i \times ({}^i\omega_i \times {}^i\mathbf{p}_i) & \text{si el eslabón } i \text{ es de traslación} \end{cases}$$

**N-E 7.** Obtener la aceleración lineal del centro de gravedad del eslabón  $i$ :  
Para  $i = n \dots 1$  realizar los pasos 8 al 10.

$${}^i\mathbf{a}_i = {}^i\dot{\omega}_i \times {}^i\mathbf{S}_i + {}^i\omega_i \times ({}^i\omega_i \times {}^i\mathbf{s}_i) + {}^i\dot{\mathbf{v}}_i$$

**N-E 8.** Obtener la fuerza ejercida sobre el eslabón  $i$ :

$${}^i\mathbf{f}_i = {}^i\mathbf{R}_{i+1} {}^{i+1}\mathbf{f}_{i+1} + m_i {}^i\mathbf{a}_i$$

**N-E 9.** Obtener el par ejercido sobre el eslabón  $i$ :

$${}^i\mathbf{n}_i = {}^i\mathbf{R}_{i+1} [{}^{i+1}\mathbf{n}_i + ({}^{i+1}\mathbf{R}_i {}^i\mathbf{p}_i) \times {}^{i+1}\mathbf{f}_{i+1}] + ({}^i\mathbf{p}_i + {}^i\mathbf{s}_i) \times m_i {}^i\mathbf{a}_i + {}^i\mathbf{I}_i {}^i\dot{\omega}_i + {}^i\omega_i \times ({}^i\mathbf{I}_i {}^i\omega_i)$$

**N-E 10.** Obtener la fuerza o torque (par) aplicado a la articulación  $i$ .

Donde  $\zeta$  es el torque (par) o fuerza efectiva (torque motor menos pares de rozamiento o perturbación).

$$\tau_i = \begin{cases} {}^i\mathbf{n}_i^T {}^i\mathbf{R}_{i-1} \mathbf{z}_0 & \text{si el eslabón } i \text{ es de rotación} \\ {}^i\mathbf{f}_i^T {}^i\mathbf{R}_{i-1} \mathbf{z}_0 & \text{si el eslabón } i \text{ es de traslación} \end{cases}$$

### 3.3) Metodo de variables de estado:

Las variables de estado naturales del sistema serán las posiciones y velocidades de cada una de las articulaciones, siendo por lo tanto el vector de estado:

$$[\mathbf{q}, \dot{\mathbf{q}}]^T.$$

Por lo tanto la expresión dinámica resulta:

$$\mathbf{D}\ddot{\mathbf{q}} + \mathbf{H} + \mathbf{C} = \boldsymbol{\tau} \Rightarrow \mathbf{D}\ddot{\mathbf{q}} + \mathbf{N} = \boldsymbol{\tau}$$

$$\ddot{\mathbf{q}} = \mathbf{D}^{-1}[\boldsymbol{\tau} - \mathbf{N}]$$

con  $\mathbf{N} = \mathbf{H} + \mathbf{C}$  y haciendo uso del vector de estado:

$$\frac{d}{dt} \begin{bmatrix} \mathbf{q} \\ \dot{\mathbf{q}} \end{bmatrix} = \begin{bmatrix} \dot{\mathbf{q}} \\ -\mathbf{D}^{-1}\mathbf{N} \end{bmatrix} + \begin{bmatrix} 0 \\ \mathbf{D}^{-1} \end{bmatrix} \boldsymbol{\tau}$$

donde  $\mathbf{D}^{-1}$  es función de  $\mathbf{q}$  y  $\mathbf{N}$  es función de  $\mathbf{q}$  y la derivada primera de  $\mathbf{q}$ .

La expresión anterior puede ponerse también de la siguiente forma:

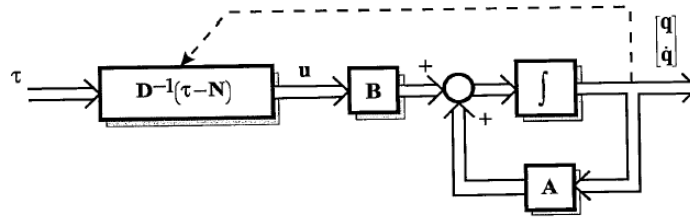
Alonso Gustavo  
Montalti Pablo

[gusgea@hotmail.com](mailto:gusgea@hotmail.com)  
[pmontalti@hotmail.com](mailto:pmontalti@hotmail.com)



## TRABAJO PRACTICO N°2

### Análisis Dinámico de un Robot e implementación en FPGA



$$\mathbf{A} = \begin{bmatrix} 0 & \mathbf{I} \\ 0 & 0 \end{bmatrix} \text{ matriz } (2n \times 2n) \quad \text{y} \quad \mathbf{B} = \begin{bmatrix} 0 \\ \mathbf{I} \end{bmatrix} \text{ matriz } (2n \times n)$$

$$\frac{d}{dt} \begin{bmatrix} \mathbf{q} \\ \dot{\mathbf{q}} \end{bmatrix} = \begin{bmatrix} 0 & \mathbf{I} \\ 0 & 0 \end{bmatrix} \cdot \begin{bmatrix} \mathbf{q} \\ \dot{\mathbf{q}} \end{bmatrix} + \begin{bmatrix} 0 \\ \mathbf{I} \end{bmatrix} \cdot \mathbf{u}$$

$$\mathbf{u} = \mathbf{D}^{-1}(\boldsymbol{\tau} - \mathbf{N})$$

#### 4) análisis dinámico de la estructura mecánica del “One Legged Robot”:

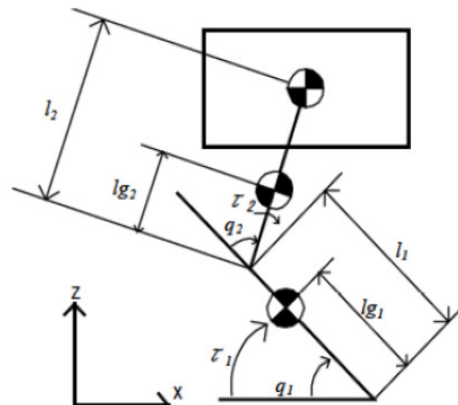


Figure 3: Dynamic Model of One-legged Robot.

En el archivo anexo “Lagrange-Euler.doc” se puede encontrar el desarrollo del método correspondiente cuya conclusión ha sido la siguiente:

#### **Ecuación dinámica del sistema:**

$$\begin{bmatrix} \tau_1 \\ \tau_2 \end{bmatrix} = \mathbf{D} \cdot \begin{bmatrix} q_1 \\ q_2 \end{bmatrix} + \mathbf{H} + \mathbf{C}$$

$$\mathbf{C} = \begin{bmatrix} -m_1 \cdot g \cdot C1 \cdot Lg_1 - m_2 \cdot (g \cdot C12 \cdot Lg_2 + g \cdot C1 \cdot L1) \\ m_2 \cdot g \cdot C12 \cdot Lg_2 \end{bmatrix}$$





## TRABAJO PRACTICO N°2

### Análisis Dinámico de un Robot e implementación en FPGA

$$H = \begin{bmatrix} L_{g2} \cdot m_2 \cdot L1 \cdot S2 \cdot (q_1 \cdot q_2 + q_2 \cdot q_1 + q_2 \cdot q_2) \\ -L_{g2} \cdot m_2 \cdot L1 \cdot S2 \cdot q_1 \cdot q_1 \end{bmatrix}$$

$$D \cdot \begin{bmatrix} q_1 \\ q_2 \end{bmatrix} = \begin{bmatrix} m_1 \cdot L_{g1}^2 + m_2 (L_{g2}^2 + 2 \cdot L_{g2} \cdot L1 \cdot C2 + L1^2) & L_{g2}^2 \cdot m_2 + L_{g2} \cdot m_2 \cdot L1 \cdot C2 \\ L_{g2}^2 \cdot m_2 + L_{g2} \cdot m_2 \cdot L1 \cdot C2 & m_2 \cdot L_{g2}^2 \end{bmatrix} \begin{bmatrix} q_1 \\ q_2 \end{bmatrix}$$

*Tabla de valores :*

$$m_1 = 0.465 \text{ Kg}$$

$$m_2 = 0.450 \text{ Kg}$$

$$L1 = 0.18 \text{ m}$$

$$L_{g1} = 0.09 \text{ m}$$

$$L2 = 0.13 \text{ m}$$

$$L_{g2} = 0.065 \text{ m}$$

$$g = 9.8 \text{ m} / \text{seg}^2$$

$$C = \begin{bmatrix} -1.20393 \cdot C1 - 0.28665 \cdot C12 \\ 0.28665 \cdot C12 \end{bmatrix}$$

$$H = \begin{bmatrix} 5.265 \times 10^{-3} \cdot S2 \cdot (q_1 \cdot q_2 + q_2 \cdot q_1 + q_2 \cdot q_2) \\ 5.265 \times 10^{-3} \cdot S2 \cdot q_1 \cdot q_1 \end{bmatrix}$$

$$D \cdot \begin{bmatrix} q_1 \\ q_2 \end{bmatrix} = \begin{bmatrix} 20.24775 \times 10^{-3} + 10.53 \times 10^{-3} \cdot C2 & 1.90125 \times 10^{-3} + 5.265 \times 10^{-3} \cdot C2 \\ 1.90125 \times 10^{-3} + 5.265 \times 10^{-3} \cdot C2 & 1.90125 \times 10^{-3} \end{bmatrix} \begin{bmatrix} q_1 \\ q_2 \end{bmatrix}$$

Algunas simulaciones del movimiento y torques necesarios pueden encontrarse en el archivo mencionado.

### **5) Conclusión del análisis dinámico del “One Legged Robot”:**

Tratándose de un sistema de 2 GDL, vemos la complejidad de las expresiones matriciales resultantes.

Se ha propuesto un ejemplo de un movimiento de “flexión”, proponiendo una trayectoria de los ángulos  $q_1$  y  $q_2$  tipo rampa, y por medio del modelado dinámico inverso se obtuvo la distribución de los torques necesarios. Es de llamar la atención, que los torques tienen magnitudes no muy grandes, según los valores propuestos de la estructura mecánica. Es esperable que los torques sean opuestos en sentido, dado que el movimiento de la pierna así lo exige, pero es una incógnita el hecho que los torques cambian de signo, es decir inician en un sentido y luego cambian luego de un determinado tiempo.

No se probó realizar un ejemplo de dinámica directa, pues vemos que las ecuaciones diferenciales que resultan son de una complejidad considerable.

Alonso Gustavo  
Montalti Pablo

[gusgea@hotmail.com](mailto:gusgea@hotmail.com)  
[pmontalti@hotmail.com](mailto:pmontalti@hotmail.com)

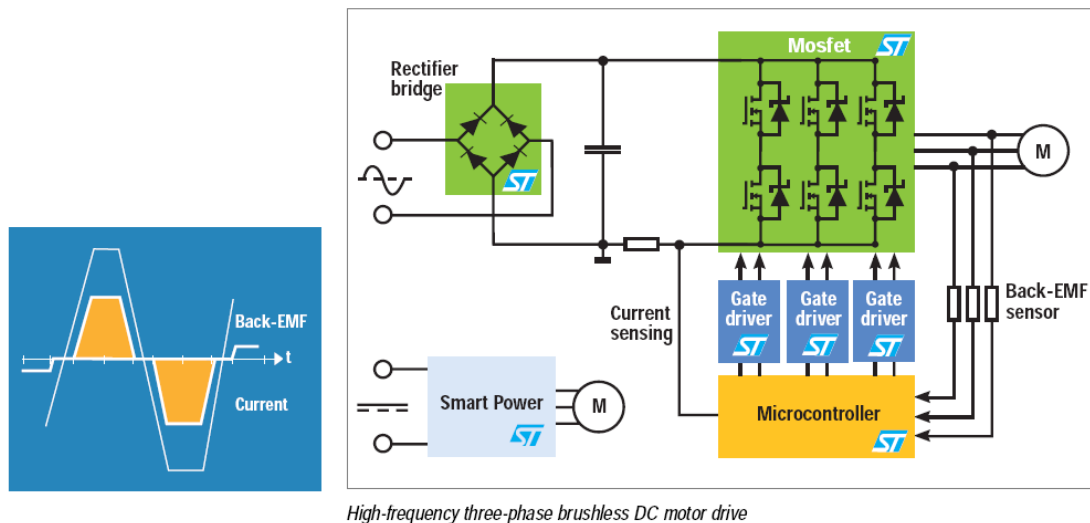


## TRABAJO PRACTICO N°2

### Análisis Dinámico de un Robot e implementación en FPGA

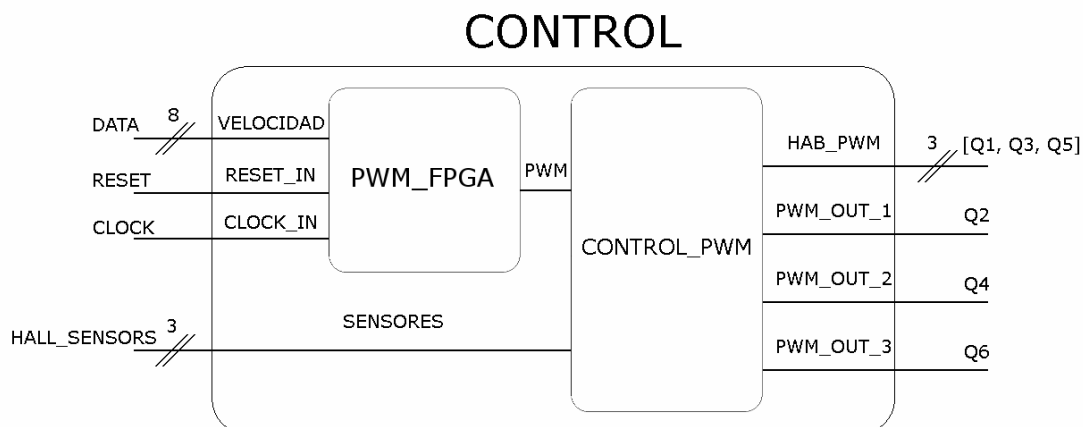
#### 6) CONTROL DE MOTOR BRUSHLESS MEDIANTE FPGA:

Partimos del esquema básico en el cuál se basa este tipo de control:



High-frequency three-phase brushless DC motor drive

Nosotros implementaremos este control mediante el siguiente diagrama en bloques:



#### PWM FPGA

El bloque interno PWM\_FPGA es el mismo utilizado en el ejemplo hecho por Atmel (subido al campus virtual como *pwm\_fpga.vhd*), el cuál es el encargado de generar la señal pwm de acuerdo a la velocidad indicada. El código del mismo es el siguiente:

```
library IEEE;
USE ieee.std_logic_1164.all;
USE ieee.std_logic_arith.all ;
USE work.user_pkg.all;
```

```
ENTITY pwm_fpga IS
```

Alonso Gustavo  
Montalti Pablo

[gusgea@hotmail.com](mailto:gusgea@hotmail.com)  
[pmontalti@hotmail.com](mailto:pmontalti@hotmail.com)



## TRABAJO PRACTICO N°2

### Análisis Dinámico de un Robot e implementación en FPGA

```
PORT ( clock,reset           :in  STD_LOGIC;
      Data_value             :in  std_logic_vector(7 downto 0);
      pwm                    :out  STD_LOGIC

    );

END pwm_fpga;

ARCHITECTURE arch_pwm OF pwm_fpga IS

    SIGNAL reg_out                : std_logic_vector(7 downto 0);
    SIGNAL cnt_out_int            : std_logic_vector(7 downto 0);
    SIGNAL pwm_int, rco_int       : STD_LOGIC;

BEGIN

    -- 8 BIT DATA REGISTER TO STORE THE MARKING VALUES .
    -- THE MARKING VALUES WILL DETERMINE THE DUTY CYCLE OF PWM OUTPUT

    PROCESS(clock,reg_out,reset)

        BEGIN
            IF (reset ='1') THEN
                reg_out <="00000000";
            ELSIF (rising_edge(clock)) THEN
                reg_out <= data_value;
            END IF;
        END PROCESS;

    -- 8 BIT UPDN COUNTER. COUNTS UP OR DOWN BASED ON THE PWM_INT SIGNAL
    AND GENERATES
    -- TERMINAL COUNT WHENEVER COUNTER REACHES THE MAXIMUM VALUE OR WHEN
    IT TRANSISTS
    -- THROUGH ZERO. THE TERMINAL COUNT WILL BE USED AS INTERRUPT TO AVR
    FOR GENERATING
    -- THE LOAD SIGNAL.
    -- INC and DEC are the two functions which are used for up and down
    counting. They are defined in sepearate user_pakge library

    PROCESS (clock,cnt_out_int,rco_int,reg_out)

        BEGIN

            IF (rco_int = '1') THEN
                cnt_out_int <= reg_out;
            ELSIF rising_edge(clock) THEN
                IF (rco_int = '0' and pwm_int ='1' and cnt_out_int
<"11111111") THEN
                    cnt_out_int <= INC(cnt_out_int);
                ELSE
                    IF (rco_int ='0' and pwm_int ='0' and cnt_out_int >
"00000000") THEN
                        cnt_out_int <= DEC(cnt_out_int);
                    END IF;
                END IF;
            END IF;
        END PROCESS;

    -- Logic to generate RCO signal
```



## TRABAJO PRACTICO N°2

### Análisis Dinámico de un Robot e implementación en FPGA

```
PROCESS(cnt_out_int, rco_int, clock,reset)
BEGIN

    IF (reset ='1') THEN
        rco_int <='1';
    ELSIF rising_edge(clock) THEN
        IF ((cnt_out_int = "11111111") or (cnt_out_int
="00000000")) THEN
            rco_int <= '1';
        ELSE
            rco_int <='0';
        END IF;
    END IF;

END PROCESS;

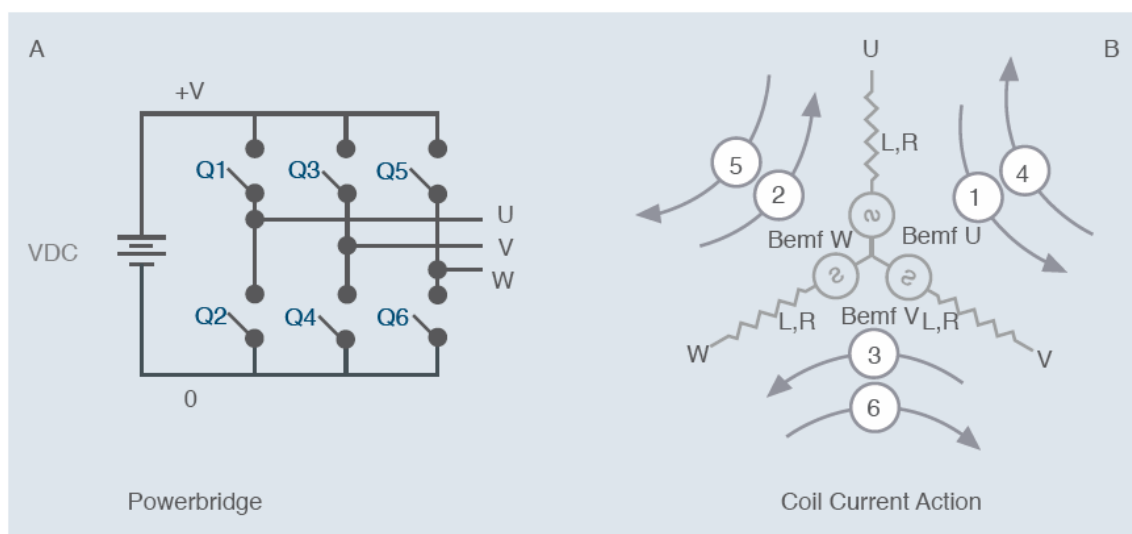
-- TOGGLE FLIP FLOP TO GENERATE THE PWM OUTPUT.

PROCESS (clock,rco_int,reset)
BEGIN
    IF (reset = '1') THEN
        pwm_int <='0';
    ELSIF rising_edge(rco_int) THEN
        pwm_int <= NOT(pwm_int);
    ELSE
        pwm_int <= pwm_int;
    END IF;
END PROCESS;
pwm <= pwm_int;

END arch_pwm;
```

## CONTROL PWM

EL bloque de CONTROL\_PWM es el encargado de manejar el puente H de acuerdo a lo que cada sensor de efecto Hall sensa y la señal pwm generada por el bloque anterior. Esto lo hace siguiendo la siguiente tabla de verdad y circuito:





## TRABAJO PRACTICO N°2

### Análisis Dinámico de un Robot e implementación en FPGA

Nº de etapa	Sensor 1	Sensor 2	Sensor 3	Llaves activas
1	1	0	1	Q1 y Q4
2	0	0	1	Q1 y Q6
3	0	1	1	Q3 y Q6
4	0	1	0	Q3 y Q2
5	1	1	0	Q5 y Q2
6	1	0	0	Q5 y Q4

NOTA: El sentido de giro es siempre en el de las agujas del reloj. Para el trabajo no se tuvo en cuenta el sentido antihorario.

El código de este bloque es el siguiente:

```
library IEEE;
USE ieee.std_logic_1164.all;
USE ieee.std_logic_arith.all ;
USE work.user_pkg.all;

ENTITY Control_PWM IS
PORT    (    pwm_in          : in STD_LOGIC;
           hall_sens         : in STD_LOGIC_VECTOR( 2 downto 0 );
           HAB_PWM_OUT       : out STD_LOGIC_VECTOR ( 2 downto 0 );
           Q2, Q4, Q6       : out STD_LOGIC
        );
END Control_PWM;

ARCHITECTURE arch_control OF Control_PWM IS
BEGIN
    PROCESS (pwm_in, hall_sens)
    BEGIN

        CASE hall_sens IS
            WHEN "101" =>
                HAB_PWM_OUT <= "100";
                Q2 <= '0';
                Q4 <= pwm_in;
                Q6 <= '0';
            WHEN "001" =>
                HAB_PWM_OUT <= "100";
                Q2 <= '0';
                Q4 <= '0';
                Q6 <= pwm_in;
            WHEN "011" =>
                HAB_PWM_OUT <= "001";
                Q2 <= '0';
                Q4 <= '0';
                Q6 <= pwm_in;
            WHEN "010" =>
                HAB_PWM_OUT <="001";
                Q2 <= pwm_in;
                Q4 <= '0';
                Q6 <= '0';
            WHEN "110" =>
                HAB_PWM_OUT <="010";
                Q2 <= pwm_in;
                Q4 <= '0';
```

Alonso Gustavo  
Montalti Pablo

[gusgea@hotmail.com](mailto:gusgea@hotmail.com)  
[pmontalti@hotmail.com](mailto:pmontalti@hotmail.com)



## TRABAJO PRACTICO N°2

### Análisis Dinámico de un Robot e implementación en FPGA

```
Q6 <= '0';
WHEN "100" =>
    HAB_PWM_OUT <="010";
Q2 <= '0';
Q4 <= pwm_in;
Q6 <= '0';
WHEN OTHERS =>
    HAB_PWM_OUT <= "000";
Q2 <= '0';
Q4 <= '0';
Q6 <= '0';
END CASE;
END PROCESS;
END arch_control;
```

## **CONTROL**

Estos dos bloques se unieron para formar un único bloque denominado CONTROL el cual tiene como único propósito simplificar el manejo de los dos bloques anteriores. La descripción es la siguiente:

```
library IEEE;
USE ieee.std_logic_1164.all;
USE ieee.std_logic_arith.all ;
USE work.user_pkg.all;

ENTITY Control IS
    PORT ( Velocidad      : in STD_LOGIC_VECTOR ( 7 downto 0 );
          Clock_IN       : in STD_LOGIC;
          Reset_IN       : in STD_LOGIC;
          Sensores       : in STD_LOGIC_VECTOR (2 downto 0);
          HAB_PWM        : out STD_LOGIC_VECTOR (2 downto 0);
          PWM_OUT_1, PWM_OUT_2, PWM_OUT_3 : OUT STD_LOGIC
        );
END Control;

ARCHITECTURE ControlArch OF Control IS

    COMPONENT pwm_fpga
    PORT (
        clock: in std_logic;
        reset: in std_logic;
        data_value: in std_logic_vector(7 downto 0);
        pwm: out std_logic
    );
    END COMPONENT;

    COMPONENT Control_PWM
    PORT (
        pwm_in : in STD_LOGIC;
        hall_sens : in STD_LOGIC_VECTOR( 2 downto 0);
        HAB_PWM_OUT : out STD_LOGIC_VECTOR (2 downto 0);
        Q2, Q4, Q6 : out STD_LOGIC
    );
    END COMPONENT;

    SIGNAL pwm_SIG : STD_LOGIC;

BEGIN
```



## TRABAJO PRACTICO N°2

### Análisis Dinámico de un Robot e implementación en FPGA

```
--*****
-- Describo interconexion de los bloques
--*****
BloquePwm : pwm_fpga
  PORT MAP (
    clock => Clock_IN,
    reset => Reset_IN,
    data_value => Velocidad,
    pwm => pwm_SIG
  );

BloqueControl : Control_PWM
  PORT MAP (
    pwm_in => pwm_SIG,
    hall_sens => Sensores,
    HAB_PWM_OUT => HAB_PWM,
    Q2 => PWM_OUT_1,
    Q4 => PWM_OUT_2,
    Q6 => PWM_OUT_3
  );

END ControlArch;
```



## 7) TEST BENCH

Para poder graficar las señales de salida, modificamos el archivo *pwm\_pretb.vhd* incluido en el ejemplo subido al Campus y agregamos las señales nuevas introducidas por nuestros módulos. En el mismo generamos dos procesos diferentes:

- 1- El primero de ellos genera diferentes velocidades cada 50µs. 3 diferentes velocidades en total, que se repiten 6 veces para poder graficar los 6 pasos del motor
- 2- El segundo proceso esta destinado a simular los sensores de efecto hall para recorrer los 6 pasos del motor

La descripción de este test bench es la siguiente:

```
__*****
--      Testbench File for design pwm_fpga produced by
--          Atmel System Designer on
--          May 25, 2001 1:54:17 pm
__*****

LIBRARY ieee;

use ieee.std_logic_1164.all;

ENTITY pwm_fpga_test_bench IS

END pwm_fpga_test_bench;

ARCHITECTURE arch_test_bench OF pwm_fpga_test_bench IS

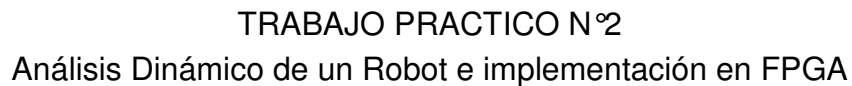
COMPONENT Control
PORT  ( Velocidad          : in STD_LOGIC_VECTOR ( 7 downto 0 );
        Clock_IN           : in STD_LOGIC;
        Reset_IN           : in STD_LOGIC;
        Sensores           : in STD_LOGIC_VECTOR (2 downto 0);
        HAB_PWM            : out STD_LOGIC_VECTOR (2 downto 0);
        PWM_OUT_1, PWM_OUT_2, PWM_OUT_3 : OUT STD_LOGIC
      );
END COMPONENT;

-- Internal signal declaration

SIGNAL sig_clock          : std_logic;
SIGNAL sig_reset          : std_logic;
SIGNAL sig_data_value     : std_logic_vector(7 downto 0);
SIGNAL sig_sen            : std_logic_vector (2 downto 0);
SIGNAL sig_hab_pwm        : std_logic_vector (2 downto 0);
SIGNAL sig_gate2          : std_logic;
SIGNAL sig_gate4          : std_logic;
SIGNAL sig_gate6          : std_logic;

-- SIGNAL sig_pwm : std_logic;
shared variable ENDSIM: boolean:=false;
constant clk_period:TIME:=100 ns;
```





Alonso Gustavo  
Montalti Pablo

17



## TRABAJO PRACTICO N°2

### Análisis Dinámico de un Robot e implementación en FPGA

```
sig_data_value <= "110000000";  
wait for 50 us;  
sig_data_value <= "100000000";  
wait for 50 us;  
sig_data_value <= "010000000";  
wait for 50 us;  
sig_data_value <= "110000000";  
wait for 50 us;  
sig_data_value <= "100000000";  
wait for 50 us;  
sig_data_value <= "010000000";  
wait for 50 us;  
wait;
```

```
END PROCESS stimulus_process;
```

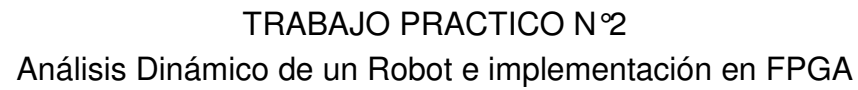
```
control_process : PROCESS
```

```
BEGIN
```

```
if (sig_reset = '1') then  
    sig_sen    <= "000";  
    wait for 100ns;  
else  
    sig_sen    <= "101";  
    wait for 150us;  
    sig_sen    <= "001";  
    wait for 150us;  
    sig_sen    <= "011";  
    wait for 150us;  
    sig_sen    <= "010";  
    wait for 150us;  
    sig_sen    <= "110";  
    wait for 150us;  
    sig_sen    <= "100";  
    wait for 150us;  
end if;
```

```
END PROCESS;
```

```
END arch_test_bench;
```



The screenshot displays a digital logic simulator's waveform viewer. The left pane shows a hierarchical tree of signals from the test bench. The main area shows the timing diagram for these signals. A yellow vertical cursor is placed at 750,000 ns. The signals shown are:

- `/pwm_fpga_test_bench/sig_clock`: Constant high signal (1).
- `/pwm_fpga_test_bench/sig_reset`: Constant low signal (0).
- `/pwm_fpga_test_bench/sig_data_value`: A sequence of 8-bit data values: 01000000, 110..., 100..., 010..., 110..., 100..., 010..., 110..., 100..., 010..., 110..., 100..., 010..., 110..., 100..., 010...
- `/pwm_fpga_test_bench/sig_sen`: A signal that transitions from 100 to 101, then 001, 011, 010, 110, and 100.
- `(2)`, `(1)`, `(0)`: Signals derived from `sig_sen`.
- `/pwm_fpga_test_bench/sig_hab_pwm`: A signal that transitions from 100 to 001 to 010.
- `(2)`, `(1)`, `(0)`: Signals derived from `sig_hab_pwm`.
- `/pwm_fpga_test_bench/sig_gate2`: A square wave signal.
- `/pwm_fpga_test_bench/sig_gate4`: A square wave signal.
- `/pwm_fpga_test_bench/sig_gate6`: A square wave signal.

The time axis at the bottom ranges from 0 to 800,000 ns, with major ticks every 200,000 ns. The cursor is at 750,000 ns.

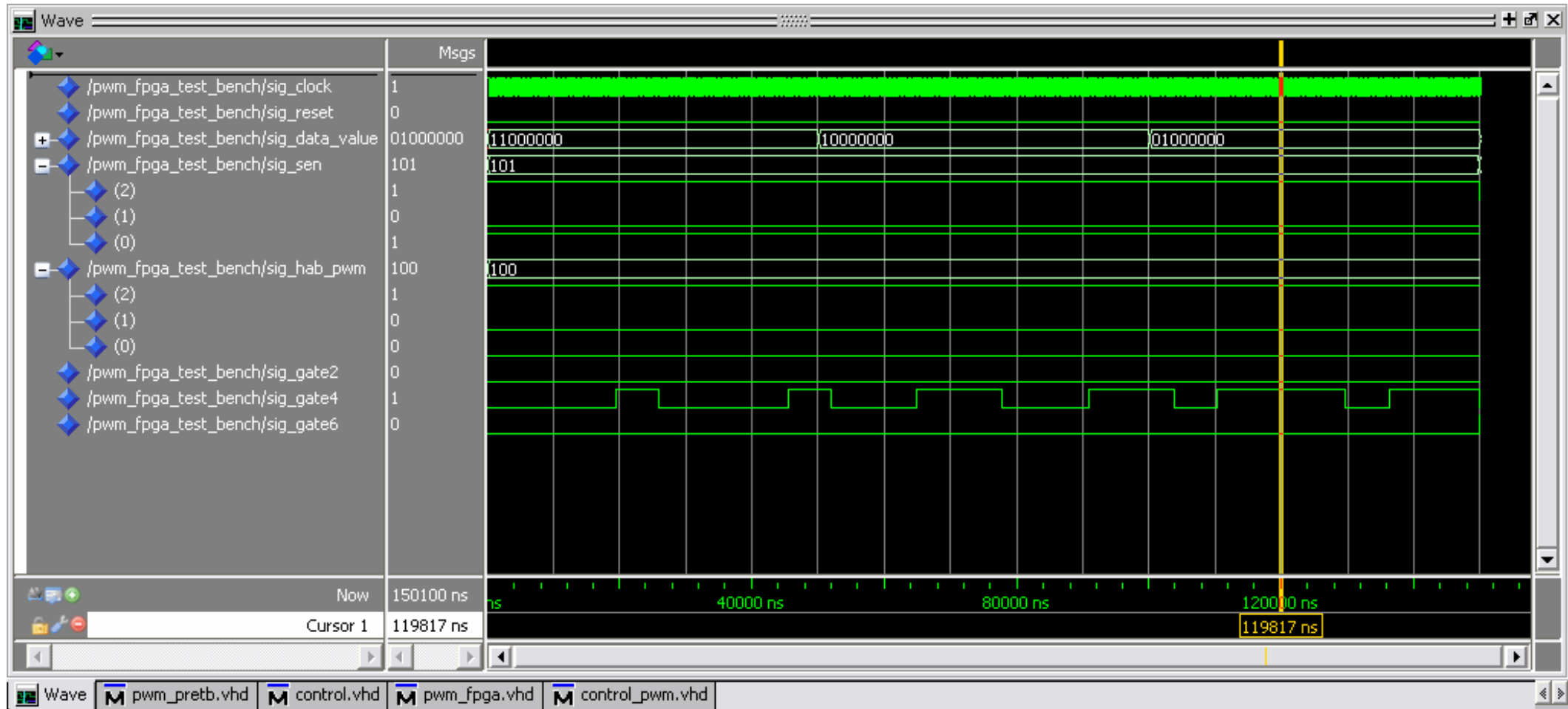
[gusgea@hotmail.com](mailto:gusgea@hotmail.com)  
[pmontalti@hotmail.com](mailto:pmontalti@hotmail.com)



## TRABAJO PRACTICO N°2

### Análisis Dinámico de un Robot e implementación en FPGA

Para observar más en detalle las diferentes velocidades ampliamos el primer paso del motor:



### **9) Conclusiones de la simulación:**

Podemos observar en los gráficos de simulación la variación del ancho de pulso a medida que cambiamos la velocidad a la cuál queremos que gire el motor. Todo esto se suma al sensado de las diferentes posiciones del motor mediante los sensores de efecto Hall, pasando de esta forma por todos los pasos del motor a la vez que se van alternando los Mosfet.

Esto comprueba lo visto en la teoría de otras materias así como el facil manejo que permite el lenguaje VHDL en cuanto a dispositivos lógicos. Si bien el ejemplo usado no es de gran complejidad, este lenguaje descriptivo permite una infinidad de implementaciones en el campo ingenieril.